



دانشگاه صنعتی **نوشهریانی** بابل

دانشکده برق و کامپیووتر

پایان نامه دوره کارشناسی ارشد در رشته مهندسی پزشکی

موضوع:

## حذف نویز پواسون-گوسی بر روی تصاویر تشخیصی مغناطیسی

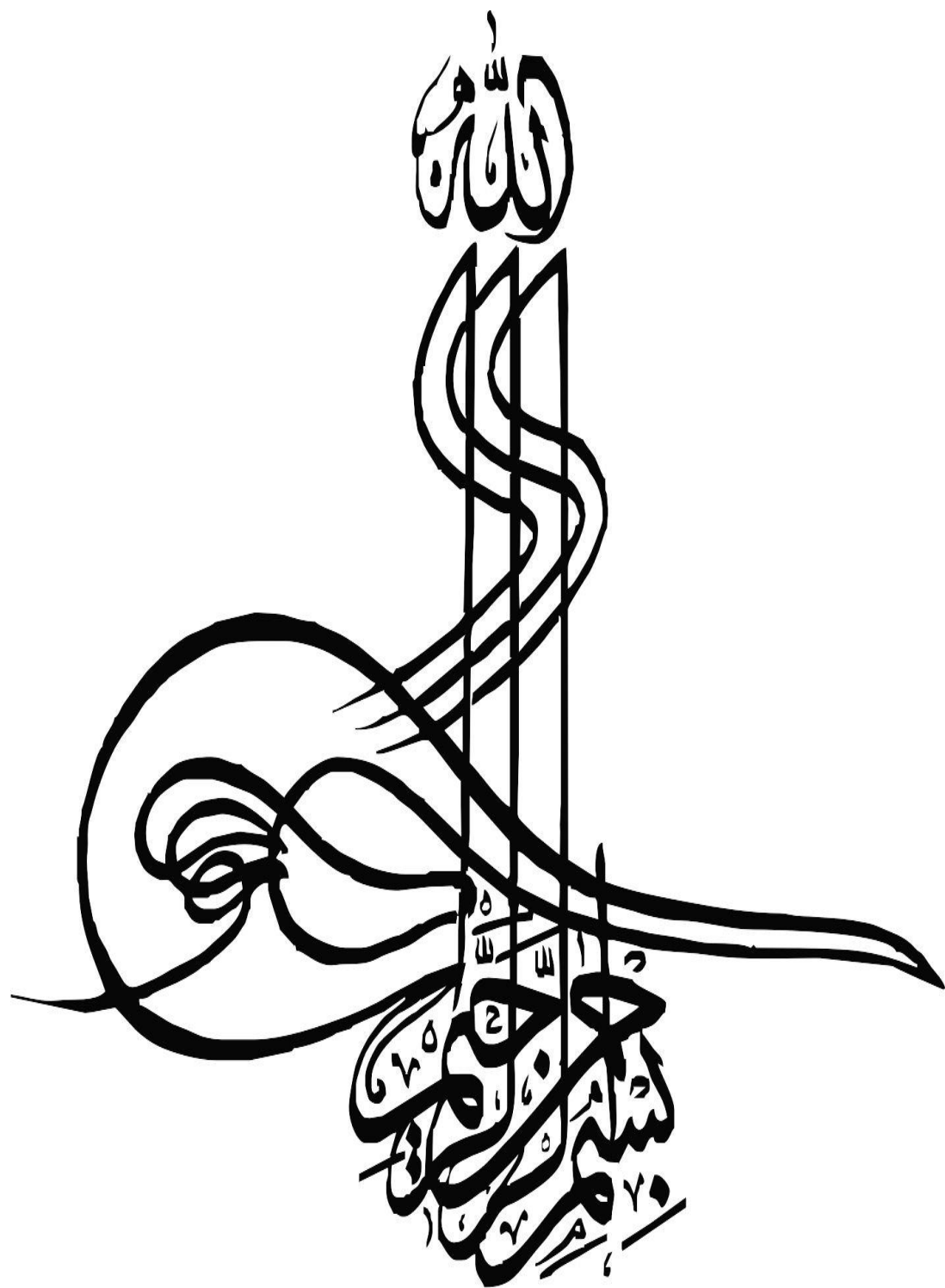
استاد راهنما:

دکتر محمدرضا کرمی

دانشجو:

منا سلطان فر

زمستان ۱۳۹۲





دانشگاه صنعتی نوشیروانی بابل

دانشکده برق و کامپیووتر

پایان‌نامه دوره کارشناسی ارشد در رشته مهندسی پزشکی

موضوع:

## حذف نویز پواسون-گوسی بر روی تصاویر تشخیصی مغناطیسی

استاد راهنما:

دکتر محمدرضا کرمی

دانشجو:

منا سلطان‌فر

زمستان ۱۳۹۲

## تأییدیه هیأت داوران جلسه دفاع از پایان نامه / رساله

نام دانشکده: مهندسی برق و کامپیووتر

نام دانشجو: منا سلطان فر

عنوان پایان نامه: حذف نویز پواسون-گوسی بر روی تصاویر تشحیید مغناطیسی

تاریخ دفاع: ۱۳۹۲/۱۱/۸

رشته: مهندسی پزشکی

گرایش: بیوالکتریک

ردیف	سمت	نام و نام خانوادگی	مرتبه دانشگاهی	دانشگاه	امضا
۱	استاد راهنما	محمد رضا کرمی	دانشیار	صنعتی بابل	
۲	استاد مدعو داخلی	محمود سخایی	استادیار	صنعتی بابل	
۳	استاد مدعو داخلی	یاسر بالغی	استادیار	صنعتی بابل	

## تأییدیهٔ صحت و اصالت نتایج

با سمهٔ تعالیٰ

اینجانب منا سلطان‌فر، به شماره دانشجویی ۹۰۴۱۲۰۰۳۹، دانشجوی رشته مهندسی پزشکی بیوالکتریک مقطع تحصیلی کارشناسی ارشد، تأیید می‌نمایم که کلیه نتایج این پایان‌نامه حاصل کار اینجانب و بدون هرگونه دخل و تصرف است و موارد نسخه‌برداری شده از آثار دیگران را با ذکر کامل مشخصات منبع ذکر کرده‌ام. در صورت اثبات خلاف مندرجات فوق، به تشخیص دانشگاه مطابق با ضوابط و مقررات حاکم (قانون حمایت از حقوق مؤلفان و مصنفان و قانون ترجمه و تکثیر کتب و نشریات و آثار صوتی، ضوابط و مقررات آموزشی، پژوهشی و انضباطی ...) با اینجانب رفتار خواهد شد و حق هرگونه اعتراض در خصوص احراق حقوق مکتب و تشخیص و تعیین تخلف و مجازات را از خویش سلب می‌نمایم. در ضمن، مسؤولیت هرگونه پاسخگویی به اشخاص اعم از حقیقی و حقوقی و مراجع ذی‌صلاح (اعم از اداری و قضایی) به عهده اینجانب خواهد بود و دانشگاه هیچ‌گونه مسؤولیتی در این خصوص نخواهد داشت.

نام و نام خانوادگی: منا سلطان‌فر

امضا و تاریخ:

به نام او. به یاد او. برآش او...

با تقدیم بهترین احترام‌ها خدمت استاد بزرگوارم جناب آقای دکتر محمد رضا کرمی که  
راهنمایی‌هایشان چراغیست در مسیر زندگی

۶

با تشکر از تمام اساتید دوره کارشناسی ارشد دانشکده برق و کامپیوتر دانشگاه صنعتی نوشیروانی با بل.

ث

تقدیم به به دو گوهر پروفروغ زندگی ...

پدر و مادر مهربانم



## چکیده

کیفیت تصاویر پزشکی، از قبیل رادیولوژی (Computed Tomography) و تشدید مغناطیسی (Magnetic Resonance)، به متخصصان بالینی و محققان پزشکی اجازه می‌دهد تا ویژگی‌های عملکردی و ساختاری بدن انسان را به خوبی بررسی کنند، و به این ترتیب به تشخیص بالینی کمک می‌کنند. پیشرفت‌های جدید در رابطه با روش تصویربرداری MR، در ابتدا بر روی کاهش زمان تصویربرداری، افزایش رزولوشن مکانی و زمانی تصویر، و در نهایت هم کاهش هزینه کل سیستم تمرکز دارد. با این وجود، پیروی از هر یک از این اهداف، بر روی مقادیر سیگنال به نویز اثر نامطلوبی دارد. همچنین به طور معمول، در مدت زمان فرآیند تصویربرداری به دلیل نوسانات الکترونیکی و حرارتی ابزارهای کاربردی، بر روی تصویر نویز ایجاد می‌شود. نویزهای ایجادی، در تحلیل و تفسیر تصاویر پزشکی تأثیر منفی می‌گذارند. بنابراین، حذف نویز یک مسئله مهم برای جامعه مهندسان بیوپزشکی بشمار می‌رود. تصویر MR دو بعدی، توسط نویز با توزیع Rician نویزی می‌شود. در این پایان‌نامه، ابتدا الگوریتم‌های جدیدی مبتنی بر روش میانگین‌گیری غیر محلی با قابلیت آشکارسازی لبه‌ها، به منظور حذف نویز تصاویر MR دو بعدی پیشنهاد می‌شوند. در الگوریتم پیشنهادی ACNLM (Adaptive-Canny-Nonlocal)، با هدف بهبود الگوریتم NLM، از الگوریتم وفقی و الگوریتم بهبود یافته Canny، جهت بهبود پیک سیگنال به نویز و آشکارسازی هر چه بهتر لبه‌ها استفاده می‌شود. اگر چه روش پیشنهادی ACNLM در راستای به انجام رساندن اهداف فوق، بسیار خوب عمل می‌کند، اما دو مشکل اساسی وجود دارد: اولین مشکل، ایجاد اثر پله‌ای در تصویر حذف نویز شده است. مشکل دوم، حساسیت زیاد روش آشکارسازی لبه Canny (که در روش پیشنهادی ACNLM استفاده شده است) نسبت به نویز است؛ به بیان دیگر، این روش آشکارسازی لبه، نویز را نیز به عنوان لبه در تصویر آشکار می‌کند. با هدف ارائه روشی به منظور حل این دو مسئله، الگوریتم Fuzzy-ACNLM (Fuzzy-Nonlocal Means) پیشنهاد می‌شود. الگوریتم Fuzzy-NLM، از منطق فازی و الگوریتم‌های آشکارساز لبه مشتق غیر خطی و تجزیه درخت مربعی، به منظور حذف اثر پله‌ای و بهبود پیک سیگنال به نویز استفاده می‌کند. مزیت اصلی این روش، قابلیت آن در پردازش سیگنال‌ها، با تغییرات یکنواخت در مقدار شدت آن‌ها است. همچنین، در الگوریتم پیشنهادی مبتنی بر روش فازی، با معرفی دو روش آشکارسازی لبه‌ای که حساسیت بسیار کمی نسبت به نویز دارند (به بیان دیگر، نویز را به عنوان لبه در تصاویر آشکار نمی‌کنند)، مشکل دوم الگوریتم ACNLM نیز حل می‌شود. نتایج اعمال روش‌های پیشنهادی، بر روی تصاویر MR دو

بعدی، نویزی شده با نویز Rician، با واریانس‌های مختلف، کارایی این روش‌ها را در حذف نویز و حفظ لبه‌ها، در مقایسه با روش‌های مشابه نشان می‌دهند.

تصویر MR سه بعدی، توسط نویز با توزیع پواسون-گوسی نویزی می‌شود. در ادامه پایان‌نامه، الگوریتم جدیدی مبتنی بر روش PURE-LET به منظور حذف نویز تصویر MR سه بعدی پیشنهاد می‌شود. در الگوریتم پیشنهادی با هدف بهبود الگوریتم PURE-LET، از روش بلوکی و الگوریتم دیکشنری جهت بهبود پیک سیگنال به نویز استفاده می‌شود. نتایج اعمال روش پیشنهادی بر روی تصاویر MR سه بعدی نویزی شده با نویز پواسون-گوسی با واریانس‌های مختلف، کارایی این روش را در حذف نویز و حفظ لبه‌ها در مقایسه با سایر روش‌ها نشان می‌دهد.

**واژه‌های کلیدی:** حذف نویز، تصاویر تشحیض مغناطیسی (MRI)، نویز پواسون-گوسی، الگوریتم NLM، الگوریتم ACNLM، آشکارساز لبه، تخمین‌گر نویز، روش فازی، الگوریتم Fuzzy-NLM، الگوریتم 3DW-DB-PURE-LET، الگوریتم دیکشنری، تبدیل موجک، فیلتربانک، الگوریتم .PURE-LET

## فهرست مطالب

عنوان	صفحه
فصل اول - مقدمه‌ای بر روش تصویربرداری تشdiid مغناطیسی	۱
۱-۱ - مقدمه	۲
۱-۱-۱ - بررسی ساختمان داخلی و عملکرد MRI	۲
۱-۱-۲ - مکانیزم کار سیستم تصویربرداری MR	۲
۱-۱-۳ - ساختمان اسکنر MRI	۳
۱-۱-۳-۱ - مغناطیس‌ها	۴
۱-۱-۳-۱-۱ - مغناطیس‌های دائمی یا آهنرباهای ثابت	۴
۱-۱-۳-۱-۲ - مغناطیس‌های مقاومتی	۴
۱-۱-۳-۱-۳ - مغناطیس‌های ابررسانا	۴
۱-۱-۳-۱-۴ - گرادیان‌ها	۵
۱-۱-۳-۱-۵ - سیستم فرستنده و گیرنده امواج رادیویی	۶
۱-۱-۳-۱-۶ - مراحل تصویربرداری توسط سیستم MRI	۶
۱-۱-۳-۱-۷ - اصول فیزیکی و عملکرد MRI	۶
۱-۱-۳-۱-۸ - پردازش تصویر	۷
۱-۱-۳-۱-۹ - ساختار پایان‌نامه	۷
فصل دوم - نویزهای ایجادی بر روی تصاویر تشdiid مغناطیسی	۹
۱-۲ - مقدمه	۱۰
۲-۲ - انواع نویز در تصاویر MR	۱۱
۲-۲-۱ - توزیع گوسی	۱۲
۲-۲-۲ - توزیع رایلی	۱۳
۲-۲-۳ - توزیع Rician	۱۴
۲-۲-۴ - توزیع پواسون	۱۶
۳-۲ - توزیع نویزهای ایجادی بر روی تصاویر MR	۱۷

۱۹	فصل سوم- معرفی پارامترها و شاخص‌های استفاده شده در این پایان‌نامه
۲۰	۱-۱-۳- مقدمه.....
۲۰	۲-۳- آشکارساز لبه.....
۲۱	۱-۲-۳- مراحل کلی آشکارسازی لبه.....
۲۱	۱-۱-۲-۳- هموارسازی تصویر.....
۲۲	۲-۱-۲-۳- محاسبه گرادیان‌های تصویر.....
۲۲	۳-۱-۲-۳- محاسبه جهت لبه‌های تصویر.....
۲۳	۴-۱-۲-۳- حذف غیر ماقزیم‌های تصویر.....
۲۳	۲-۲-۳- معرفی چند آشکارساز.....
۲۳	۱-۲-۲-۳- آشکارساز لبه Canny
۲۴	۱-۱-۲-۲-۳- الگوریتم Canny در یک نگاه کلی.....
۲۵	۲-۲-۲-۳- معرفی دو روش دیگر آشکارسازی لبه.....
۲۶	۱-۲-۲-۲-۳- آشکارساز لبه مشتق غیرخطی.....
۲۷	۱-۱-۲-۲-۲-۳- آشکارسازی لبه گستته و مسئله مکان‌یابی.....
۲۷	۱-۱-۱-۲-۲-۲-۳- آشکارسازی لبه با رویکرد مشتقی.....
۲۸	۲-۱-۱-۲-۲-۲-۳- مدل لبه گستته و مکان‌یابی.....
۲۹	۲-۱-۲-۲-۲-۳- روش فیلترگذاری غیرخطی به منظور مکان‌یابی لبه.....
۲۹	۱-۲-۱-۲-۲-۲-۳- قانون یک بعدی NLFS
۳۱	۲-۲-۱-۲-۲-۲-۳- بسط دو بعدی NLFS
۳۲	۲-۲-۲-۲-۲-۳- آشکارساز لبه تجزیه درخت مربعی.....
۳۵	۱-۲-۲-۲-۲-۳- خلاصه‌ای از مراحل آشکارساز لبه تجزیه درخت مربعی.....
۳۷	۳-۳-۳- شاخص‌های کمی و کیفی مقایسه الگوریتم‌ها.....
۳۷	۱-۳-۳- میانگین مربع خطای.....
۳۷	۲-۳-۳- پیک سیگنال به نویز.....
۳۸	۳-۳-۳- حفظ لبه‌ها.....
۳۸	۴-۳-۳- زمان اجرای برنامه.....

۳۹	فصل چهارم - معرفی الگوریتم‌های حذف نویز.....
۴۰	۱-۱-۴- مقدمه.....
۴۲	۲-۴- معرفی چند الگوریتم حذف نویز.....
۴۲	۱-۲-۴- فیلتر دوجانبه.....
۴۳	۲-۲-۴- الگوریتم انتشار ناهمسانگرد.....
۴۵	۳-۲-۴- الگوریتم میانگین گیر غیر محلی.....
۴۷	۴-۲-۴- الگوریتم میانگین گیر غیر محلی پویا.....
۴۹	۵-۲-۴- الگوریتم میانگین گیر غیر محلی سریع.....
۵۰	۶-۲-۴- الگوریتم تبدیل موجک.....
۵۴	۱-۶-۲-۴- معادله‌های ریاضی تبدیل موجک.....
۵۵	۲-۶-۲-۴- آنالیز چند دقیقی تبدیل موجک.....
۵۸	۳-۶-۲-۴- فیلتربانک تبدیل موجک.....
۶۰	۴-۶-۲-۴- معرفی چندین روش حذف نویز مبتنی بر تبدیل موجک.....
۶۱	۷-۲-۴- تبدیل تعمیم یافته انسکوب.....
۶۴	۸-۲-۴- الگوریتم فیلترگذاری اشتراکی و تطبیق‌پذیری بلوکی سه بعدی.....
۶۵	۱-۸-۲-۴- گروه‌بندی.....
۶۶	۲-۸-۲-۴- فیلترگذاری اشتراکی.....
۶۷	۳-۸-۲-۴- فیلترگذاری اشتراکی با انقباض در حوزه تبدیل.....
۶۸	۴-۸-۲-۴- روند کلی الگوریتم.....
۶۸	۱-۴-۸-۲-۴- پیاده‌سازی الگوریتم.....
۷۶	فصل پنجم - الگوریتم‌های پیشنهادی حذف نویز بر روی تصاویر تشخیصی دو بعدی.....
۷۷	۱-۵- مقدمه.....
۷۷	۲-۵- الگوریتم پیشنهادی ACNLM.....
۸۰	۱-۲-۵- نتایج شبیه‌سازی.....
۸۵	۳-۵- الگوریتم پیشنهادی Fuzzy-NLM.....
۸۶	۱-۳-۵- معرفی اساس منطق فازی.....
۸۶	۲-۳-۵- روش پیشنهادی Fuzzy-NLM.....
۸۸	۳-۳-۵- نتایج شبیه‌سازی.....

۱۰۰	..... ۴-۵- نتیجه‌گیری
۱۰۱	<b>فصل ششم- الگوریتم پیشنهادی حذف نویز پواسون- گوسی بر روی تصاویر تشدید مغناطیسی سه بعدی</b>
۱۰۲	..... ۱-۶- مقدمه
۱۰۳	..... ۲-۶- الگوریتم PURE-LET
۱۰۴	..... ۶-۱- تعاریف و نمادسازی‌ها
۱۰۵	..... ۶-۲- ویژگی‌های مفید متغیرهای تصادفی گوسی و پواسون
۱۰۷	..... ۶-۳-۲-۶- MSE به منظور تخمین دقیق Dاده‌های نویزی شده با نویز پواسون- گوسی
۱۰۸	..... ۶-۴- تقریب سری تیلور PURE
۱۰۸	..... ۶-۵- تبدیل موجک گسسته نرمالیزه نشده هار
۱۱۱	..... ۶-۶- PURE به منظور حذف نویز در حوزه تبدیل
۱۱۳	..... ۶-۷- روش PURE-LET به منظور حذف نویز
۱۱۴	..... ۶-۸- تابع آستانه‌گذاری
۱۱۵	..... ۶-۹- پیاده‌سازی
۱۱۶	..... ۶-۱۰- الگوریتم پیشنهادی DB-PURE-LET
۱۲۴	..... ۶-۱۱- تابع آستانه‌گذاری در الگوریتم پیشنهادی
۱۲۷	..... ۶-۱۲- نتایج شبیه‌سازی
۱۳۲	..... ۶-۱۳- نتیجه‌گیری
۱۳۳	<b>فصل هفتم- ایده پیشنهادی 3DW-DB-PURE-LET</b>
۱۳۴	..... ۷-۱- ایده پیشنهادی 3DW-DB-PURE-LET در مرحله پیاده‌سازی
۱۴۰	..... ۷-۲- تبدیل موجک سه بعدی
۱۴۳	<b>فصل هشتم- نتیجه‌گیری و ارائه پیشنهادها</b>
۱۴۴	..... ۸-۱- جمع‌بندی و نتیجه‌گیری
۱۴۵	..... ۸-۲- پیشنهادهایی برای ادامه کار
۱۴۷	..... ۸-۳- پیوست ۱- مفهوم مشتق‌گیری از تصویر
۱۴۹	..... ۸-۴- مراجع

## فهرست شکل‌ها

صفحه	عنوان
۱۰	شکل ۱-۲- مدل اعمال روش حذف نویز بر روی تصویر نویزی.....
۱۳	شکل ۲-۲- هیستوگرام تابع چگالی احتمال گوسی.....
۱۴	شکل ۳-۲- هیستوگرام تابع چگالی احتمال رایلی.....
۱۵	شکل ۴-۲- هیستوگرام تابع چگالی احتمال Rician.....
۱۵	شکل ۵-۲- مقایسه تابع چگالی احتمال توزیع‌های Rician، گوسی و رایلی.....
۱۷	شکل ۶-۲- هیستوگرام تابع چگالی احتمال پواسون.....
۱۷	شکل ۷-۲- تابع چگالی احتمال توزیع پواسون.....
۲۳	شکل ۱-۳- عملگرها در الگوریتم‌های آشکارساز لب Canny، Sobel و Prewitt، در دو راستای x و y.....
۲۶	شکل ۲-۳- مقایسه‌ای بر روی الگوریتم‌های آشکارساز مختلف.....
۲۹	شکل ۳-۳- مدل پلکانی یک لبه ایده‌آل.....
۳۰	شکل ۴-۳- مکان‌یابی، به منظور آشکارسازی لبه گستته.....
۳۱	شکل ۵-۳- مکان‌یابی NLFS، به منظور آشکارسازی لبه گستته.....
۳۳	شکل ۶-۳- تصویر آشکارسازی شده لبه، به روش مشتق غیرخطی.....
۳۴	شکل ۷-۳- نمونه‌ای از تجزیه سلسه مواتبی درخت مربعی.....
۳۵	شکل ۸-۳- تقسیم‌بندی یک نود به منظور تعریف بازگشتی.....
۳۷	شکل ۹-۳- مراحل آشکارساز لب تجزیه درخت مربعی.....
۴۵	شکل ۱-۴- روش حذف نویز الگوریتم NLM.....
۵۲	شکل ۲-۴- نمایش نمودار موزائیکی زمان-فرکانس تبدیل STFT.....
۵۲	شکل ۳-۴- مقایسه نمایش نمودار موزائیکی زمان-فرکانس تبدیل‌ها.....
۵۳	شکل ۴-۴- نمایش ساختار فیلتربانک تبدیل موجک گستته دو بعدی.....
۵۴	شکل ۵-۴- نمایش نحوه تقسیم‌بندی زیرباندها با استفاده از تبدیل موجک گستته دو بعدی.....
۶۶	شکل ۶-۴- مثال ساده‌ای از گروه‌بندی به روش تطبیق‌پذیری در یک تصویر مصنوعی.....
۶۹	شکل ۷-۴- فلوچارت الگوریتم حذف نویز فیلترگذاری اشتراکی و تطبیق‌پذیری بلوکی سه بعدی.....
۷۵	شکل ۸-۴- طبقه‌بندی الگوریتم‌های حذف نویز تصویر.....
۷۹	شکل ۱-۵- فلوچارت الگوریتم پیشنهادی ACNLM.....

۸۳	..... شکل ۲-۵- مقایسه کیفی و بصری روش‌های حذف نویز، (تصویر (۱))، (نویز Rician)، ( $\sigma = ۴۰$ )، (پنجره شباهت $۳ \times ۳$ )
۸۴	..... شکل ۳-۵- مقایسه کیفی و بصری روش‌های حذف نویز، (تصویر (۲))، (نویز Rician)، ( $\sigma = ۴۰$ )، (پنجره شباهت $۳ \times ۳$ )
۸۴	..... شکل ۴-۵- مقایسه کیفی و بصری روش‌های حذف نویز، (تصویر (۱))، (نویز گوسی)، ( $\sigma = ۰.۰۰۴$ )، (پنجره شباهت $۳ \times ۳$ )
۸۵	..... شکل ۵-۵- مقایسه کیفی و بصری روش‌های حذف نویز، (تصویر (۲))، (نویز گوسی)، ( $\sigma = ۰.۰۰۴$ )، (پنجره شباهت $۳ \times ۳$ )
۸۷	..... شکل ۶-۵- چهار قانون فازی الگوریتم پیشنهادی Fuzzy-NLM
۸۸	..... شکل ۷-۵- فلوچارت الگوریتم پیشنهادی Fuzzy-NLM
۹۱	..... شکل ۸-۵- مقایسه کیفی و بصری روش‌های حذف نویز، (تصویر (۱))، (نویز Rician)، ( $\sigma = ۳۰$ )، (پنجره شباهت $۷ \times ۷$ )
۹۲	..... شکل ۹-۵- مقایسه کیفی و بصری روش‌های حذف نویز، (تصویر (۲))، (نویز Rician)، ( $\sigma = ۳۰$ )، (پنجره شباهت $۷ \times ۷$ )
۹۲	..... شکل ۱۰-۵- مقایسه کیفی و بصری روش‌های حذف نویز، (تصویر (۱))، (نویز گوسی)، ( $\sigma = ۰.۰۰۳$ )، (پنجره شباهت $۷ \times ۷$ )
۹۳	..... شکل ۱۱-۵- مقایسه کیفی و بصری روش‌های حذف نویز، (تصویر (۲))، (نویز گوسی)، ( $\sigma = ۰.۰۰۳$ )، (پنجره شباهت $۷ \times ۷$ )
۹۳	..... شکل ۱۲-۵- مقایسه کیفی و بصری روش‌های حذف نویز، (تصویر (۱))، (تصویر تفاضلی حذف نویز شده از تصویر اصلی بدون نویز)، (نویز Rician)، ( $\sigma = ۳۰$ )، (پنجره شباهت $۷ \times ۷$ )
۹۴	..... شکل ۱۳-۵- مقایسه کیفی و بصری روش‌های حذف نویز، (تصویر (۱))، (تصویر تفاضلی حذف نویز شده از تصویر اصلی بدون نویز)، (نویز Rician)، ( $\sigma = ۳۰$ )، (پنجره شباهت $۷ \times ۷$ )
۹۴	..... شکل ۱۴-۵- مقایسه کیفی و بصری روش‌های حذف نویز، (تصویر (۲))، (تصویر Gray)، (تصویر تفاضلی حذف نویز شده از تصویر اصلی بدون نویز)، (نویز Rician)، ( $\sigma = ۳۰$ )، (پنجره شباهت $۷ \times ۷$ )
۹۵	..... شکل ۱۵-۵- مقایسه کیفی و بصری روش‌های حذف نویز، (تصویر (۲))، (تصویر Hot)، (تصویر تفاضلی حذف نویز شده از تصویر اصلی بدون نویز)، (نویز Rician)، ( $\sigma = ۳۰$ )، (پنجره شباهت $۷ \times ۷$ )
۹۵	..... شکل ۱۶-۵- مقایسه کیفی و بصری روش‌های حذف نویز، (تصویر (۱))، (تصویر Gray)، (تصویر تفاضلی حذف نویز شده از تصویر اصلی بدون نویز)، (نویز Rician)، ( $\sigma = ۳۰$ )، (پنجره شباهت $۳ \times ۳$ )
۹۶	..... شکل ۱۷-۵- مقایسه کیفی و بصری روش‌های حذف نویز، (تصویر (۱))، (تصویر Hot)، (تصویر تفاضلی حذف نویز شده از تصویر اصلی بدون نویز)، (نویز Rician)، ( $\sigma = ۳۰$ )، (پنجره شباهت $۳ \times ۳$ )

۹۶	شکل ۱۸-۵ - مقایسه کیفی و بصری روش‌های حذف نویز، (تصویر (۲)، (Gray)، (تصویر تفاضلی حذف نویز شده از تصویر اصلی بدون نویز)، (نویز Rician)، (۳۰ = ۵)، (پنجره شباهت $3 \times 3$ ).....
۹۷	شکل ۱۹-۵ - مقایسه کیفی و بصری روش‌های حذف نویز، (تصویر (۲)، (Hot)، (تصویر تفاضلی حذف نویز شده از تصویر اصلی بدون نویز)، (نویز Rician)، (۳۰ = ۵)، (پنجره شباهت $3 \times 3$ ).....
۹۷	شکل ۲۰-۵ - مقایسه کیفی و بصری روش‌های حذف نویز، (تصویر (۱)، (Gray)، (تصویر تفاضلی حذف نویز شده از تصویر اصلی بدون نویز)، (نویز گوسی)، (۰.۰۰۳ = ۵)، (پنجره شباهت $7 \times 7$ ).....
۹۸	شکل ۲۱-۵ - مقایسه کیفی و بصری روش‌های حذف نویز، (تصویر (۱)، (Hot)، (تصویر تفاضلی حذف نویز شده از تصویر اصلی بدون نویز)، (نویز گوسی)، (۰.۰۰۳ = ۵)، (پنجره شباهت $7 \times 7$ ).....
۹۸	شکل ۲۲-۵ - مقایسه کیفی و بصری روش‌های حذف نویز، (تصویر (۲)، (Gray)، (تصویر تفاضلی حذف نویز شده از تصویر اصلی بدون نویز)، (نویز گوسی)، (۰.۰۰۳ = ۵)، (پنجره شباهت $7 \times 7$ ).....
۹۹	شکل ۲۳-۵ - مقایسه کیفی و بصری روش‌های حذف نویز، (تصویر (۲)، (Hot)، (تصویر تفاضلی حذف نویز شده از تصویر اصلی بدون نویز)، (نویز گوسی)، (۰.۰۰۳ = ۵)، (پنجره شباهت $7 \times 7$ ).....
۹۹	شکل ۲۴-۵ - مقایسه کیفی و بصری روش‌های حذف نویز، (تصویر (۱)، (Jet)، (تصویر تفاضلی حذف نویز شده از تصویر اصلی بدون نویز)، (نویز Rician)، (۳۰ = ۵)، (پنجره شباهت $7 \times 7$ ).....
۱۰۰	شکل ۲۵-۵ - مقایسه کیفی و بصری روش‌های حذف نویز، (تصویر (۲)، (Jet)، (تصویر تفاضلی حذف نویز شده از تصویر اصلی بدون نویز)، (نویز Rician)، (۳۰ = ۵)، (پنجره شباهت $7 \times 7$ ).....
۱۰۹	شکل ۱-۶ - پیاده‌سازی بانک فیلتری تبدیل موجک گسسته نرمالیزه نشده هار.....
۱۱۱	شکل ۲-۶ - قاعدة حذف نویز در حوزه تبدیل، برای نویز وابسته به سیگنال.....
۱۱۶	شکل ۳-۶ - نمایش ویژگی‌های دو فیلتر پایین‌گذر و بالاگذر در مراحل تجزیه و بازیابی تبدیل موجک دایوبچیز (db4).....
۱۱۷	شکل ۴-۶ - نمایش نحوه تقسیم‌بندی زیرباندها با استفاده از تبدیل دایوبچیز (db4).....
۱۱۷	شکل ۵-۶ - نمایش نحوه تقسیم‌بندی زیرباندها با استفاده از تبدیل موجک Meyer گسسته (dmey).....
۱۱۸	شکل ۶-۶ - نمایش ویژگی‌های دو فیلتر پایین‌گذر و بالاگذر در مراحل تجزیه و بازیابی تبدیل موجک سیملت (sym8).....
۱۱۸	شکل ۷-۶ - نمایش نحوه تقسیم‌بندی زیرباندها با استفاده از تبدیل موجک سیملت (sym8).....
۱۱۹	شکل ۸-۶ - نمایش ویژگی‌های دو فیلتر پایین‌گذر و بالاگذر در مراحل تجزیه و بازیابی تبدیل موجک هار.....
۱۱۹	شکل ۹-۶ - نمایش نحوه تقسیم‌بندی زیرباندها با استفاده از تبدیل موجک هار.....
۱۲۰	شکل ۱۰-۶ - پیاده‌سازی بانک فیلتری الگوریتم پیشنهادی (قسمت اول).....
۱۲۱	شکل ۱۱-۶ - پیاده‌سازی بانک فیلتری الگوریتم پیشنهادی (قسمت دوم).....
۱۲۲	شکل ۱۲-۶ - نحوه بلوك‌بندی تصویر و استفاده از آن در الگوریتم پیشنهادی.....

- شکل ۱۳-۶ - شبه کد الگوریتم پیشنهادی مبتنی بر الگوریتم دیکشنری تکاملی و روش بلوکی.....  
۱۲۳
- شکل ۱۴-۶ - مقایسه کیفی و بصری روش‌های حذف نویز، ( تصویر (۱) )، ( فریم #۱ )، ( نویز پواسون-گوسی )، (  $\sigma = 0.05$  ).....  
۱۲۹
- شکل ۱۵-۶ - مقایسه کیفی و بصری روش‌های حذف نویز، ( تصویر (۲) )، ( فریم #۱ )، ( نویز پواسون-گوسی )، (  $\sigma = 0.03$  ).....  
۱۳۰
- شکل ۱۶-۶ - مقایسه کیفی و بصری روش‌های حذف نویز، ( تصویر (۱) )، ( فریم #۱ )، ( Hot )، ( تصویر تفاضلی حذف نویز شده از تصویر اصلی بدون نویز )، ( نویز پواسون-گوسی )، (  $\sigma = 0.01$  ).....  
۱۳۰
- شکل ۱۷-۶ - مقایسه کیفی و بصری روش‌های حذف نویز، ( تصویر (۲) )، ( فریم #۱ )، ( Hot )، ( تصویر تفاضلی حذف نویز شده از تصویر اصلی بدون نویز )، ( نویز پواسون-گوسی )، (  $\sigma = 0.03$  ).....  
۱۳۱
- شکل ۱۸-۶ - مقایسه کیفی و بصری روش‌های حذف نویز، ( تصویر (۱) )، ( فریم #۱ )، ( Jet )، ( تصویر تفاضلی حذف نویز شده از تصویر اصلی بدون نویز )، ( نویز پواسون-گوسی )، (  $\sigma = 0.03$  ).....  
۱۳۱
- شکل ۱۹-۶ - مقایسه کیفی و بصری روش‌های حذف نویز، ( تصویر (۲) )، ( فریم #۱ )، ( Jet )، ( تصویر تفاضلی حذف نویز شده از تصویر اصلی بدون نویز )، ( نویز پواسون-گوسی )، (  $\sigma = 0.03$  ).....  
۱۳۲
- شکل ۲۰-۱ - (a) نمایش سه بعدی تصویر MR؛ (b) تفاوت میان اولین و آخرین فریم تصویر سه بعدی.....  
۱۳۴
- شکل ۲۰-۲ - شبه کد ساده‌ترین روش پیمایش فریم‌ها به منظور انجام گروه‌بندی.....  
۱۳۵
- شکل ۲۰-۳ - نمونه‌ای از نمایش فریم‌های یک تصویر سه بعدی MR در راستای برش‌ها (Z).  
۱۳۶
- شکل ۲۰-۴ - شبه کد روش پیمایش فریم‌ها و انجام گروه‌بندی مبتنی بر بیشترین شباهت.....  
۱۳۷
- شکل ۲۰-۵ - نحوه بلوک‌بندی سه بعدی تصویر و استفاده از آن در ایده پیشنهادی مبتنی بر تبدیل موجک سه بعدی.....  
۱۳۸
- شکل ۲۰-۶ - شبه کد الگوریتم مبتنی بر ایده پیشنهادی 3DW-DB-PURE-LET  
۱۳۹
- شکل ۲۰-۷ - نمایش نحوه تقسیم‌بندی زیرباندها با استفاده از تبدیل موجک گستته سه بعدی.....  
۱۴۰
- شکل ۲۰-۸ - (a) نمایش سه بعدی تصویر MR بدست آمده از ضرایب مقیاسی تبدیل موجک؛ (b) تفاوت میان اولین و آخرین فریم از تصویر بدست آمده از ضرایب مقیاسی تبدیل موجک.....  
۱۴۰
- شکل ۲۰-۹ - پیاده‌سازی بانک فیلتری تبدیل موجک سه بعدی.....  
۱۴۲

## فهرست جدول‌ها

عنوان	صفحه
جدول ۱-۵- مقایسه روش‌های مختلف حذف نویز Rician، بر مبنای معیار سنجش MSE، ( پنجره شباht ۳×۳ )	۸۰
جدول ۲-۵- مقایسه روش‌های مختلف حذف نویز Rician، بر مبنای معیار سنجش PSNR، ( پنجره شباht ۳×۳ )	۸۱
جدول ۳-۵- مقایسه روش‌های مختلف حذف نویز Rician، بر مبنای معیار سنجش MSE، ( پنجره شباht ۷×۷ )	۸۱
جدول ۴-۵- مقایسه روش‌های مختلف حذف نویز Rician، بر مبنای معیار سنجش PSNR، ( پنجره شباht ۷×۷ )	۸۲
جدول ۵-۵- مقایسه روش‌های مختلف حذف نویز گوسی، بر مبنای معیار سنجش MSE، ( پنجره شباht ۳×۳ )	۸۲
جدول ۶-۵- مقایسه روش‌های مختلف حذف نویز گوسی، بر مبنای معیار سنجش PSNR، ( پنجره شباht ۳×۳ )	۸۳
جدول ۷-۵- مقایسه روش‌های مختلف حذف نویز Rician، بر مبنای معیار سنجش MSE، ( پنجره شباht ۷×۷ )	۸۹
جدول ۸-۵- مقایسه روش‌های مختلف حذف نویز Rician، بر مبنای معیار سنجش PSNR، ( پنجره شباht ۷×۷ )	۹۰
جدول ۹-۵- مقایسه روش‌های مختلف حذف نویز گوسی، بر مبنای معیار سنجش MSE، ( پنجره شباht ۷×۷ )	۹۰
جدول ۱۰-۵- مقایسه روش‌های مختلف حذف نویز گوسی، بر مبنای معیار سنجش PSNR، ( پنجره شباht ۷×۷ )	۹۱
جدول ۱-۶- مقایسه روش‌های مختلف حذف نویز پواسون-گوسی، بر مبنای معیار سنجش MSE	۱۲۸
جدول ۲-۶- مقایسه روش‌های مختلف حذف نویز پواسون-گوسی، بر مبنای معیار سنجش PSNR	۱۲۸
جدول ۳-۶- مقایسه روش‌های مختلف حذف نویز پواسون-گوسی با معیار زمان اجرا (بر حسب ثانیه)	۱۲۹

# فصل اول

مقدمه‌ای بر روش

تصویربرداری تشدید مغناطیسی

## ۱-۱- مقدمه

تکنولوژی MRI<sup>۱</sup> در بسیاری از کاربردهای پزشکی استفاده می‌شود. از آنجاییکه این تکنولوژی رزوشن بسیار بالایی دارد و اساساً بی‌ضرر است، آن را به عنوان دقیق‌ترین و مطلوب‌ترین تکنولوژی تصویربرداری می‌شناسند. MRI در درجه اول به منظور نمایش تغییرات فیزیولوژیکی یا پاتولوژیکی بافت‌های زنده مورد استفاده قرار می‌گیرد. بدین دلیل که بیماری‌های مرتبط با این تغییرات بسیار متداول شده است، MRI به عنوان یک روش کاربردی رایج در تصویربرداری پزشکی شناخته می‌شود.

### ۱-۱-۱- بررسی ساختمان داخلی و عملکرد MRI

MRI روش تولید تصاویر با جزئیات کامل از بافت‌ها و ارگان‌های بدن، بدون استفاده از پرتوهای ایکس و پرتوهای یونیزه شده می‌باشد؛ این مزیت موجب می‌شود که روش تصویربرداری MR از روش تصویربرداری به کمک اشعه ایکس متمایز شود. در سال‌های اولیه معرفی این تکنولوژی، بدلیل استفاده از پرتوهای یونیزه شده هسته‌ای جهت تصویربرداری، این روش تصویربرداری از بافت را NMRI<sup>۲</sup> (تصویربرداری تشخیصی مغناطیسی هسته‌ای) می‌نامیدند. اما با گذشت زمان و پیشرفت تکنولوژی، استفاده از این پرتوهای یونیزه شده حذف می‌شود و دستگاه به MRI تغییر نام می‌یابد.

دکتر دامادین در اوایل دهه ۱۹۷۰ متوجه می‌شود که ساختمان آب در تصویربرداری MR عنصری بسیار حیاتی است. زیرا هر مولکول آب در حقیقت مانند یک دو قطبی بسیار قوی عمل می‌کند (قطب شمال و جنوب). علت آن است که الکترون‌های مدار هیدروژن زمان بیشتری را در مدارهای اطراف اتم اکسیژن می‌گذارند، و این وضعیت موجب می‌شود که یک منبع قوی برای تولید سیگنال‌های MRI ایجاد شود. دامادین اثبات می‌کند که سیگنال‌های فوق را می‌توان به صورت تصویری مخصوص آشکار و ثبت نمود.

### ۱-۱-۲- مکانیزم کار سیستم تصویربرداری MR

سه نوع حرکت در اتم وجود دارد:

<sup>1</sup> Magnetic Resonance Imaging

<sup>2</sup> Nucleus Magnetic Resonance Imaging